

Animal and Cell Models for Detection and Characterization of Leukemic Stem Cells Group



Publications: 11

Impact Factor: 125.⁴²⁷

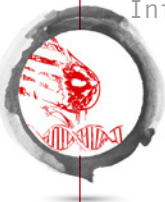
Q1: 9

Research Activity

PUBLICATIONS

- Álvarez-Larran A, Pérez-Encinas M, Ferrer-Marín F, Hernández-Boluda JC, Ramírez MJ, Martínez-López J, Magro E, Cruz Y, Mata MI, Aragues MP, Fox ML, Cuevas B, Montesdeoca S, Hernández-Rivas JA, García-Gutiérrez V, Gómez-Casares MT, Steegmann JL, Durán MA, Gómez M, Kerguelen A, Bárez A, García MC, Boque C, Raya JM, Martínez C, Albors M, García F, Burgaleta C, Beseses C. Risk of thrombosis according to need of phlebotomies in patients with polycythemia vera treated with hydroxyurea. *Haematologica*. 2017; 102(1): 103-9. Article. IF: 9.09; D1
- Álvaro-Blanco J, Urso K, Chiodo Y, Martín-Cortázar C, Kourani O, Gómez-del Arco P, Rodríguez-Martínez M, Calonge E, Alcamí J, Redondo JM, Iglesias T, Campanero MR. MAZ induces MYB expression during the exit from quiescence via the E2F site in the MYB promoter. *Nucleic Acids Res*. 2017; 45(17): 9960-75. Article. IF: 11.561; D1
- Hernández-Boluda JC, Correa JG, García-Delgado R, Martínez-López J, Álvarez-Larran A, Fox ML, García-Gutiérrez V, Pérez-Encinas M, Ferrer-Marín F, Mata-Vázquez MI, Raya JM, Estrada N, García S, Kerguelen A, Durán MA, Albors M, Cervantes F. Predictive factors for anemia response to erythropoiesis-stimulating agents in myelofibrosis. *Eur J Haematol*. 2017; 98(4): 407-14. Article. IF: 2.595; Q3
- Lahuerta JJ, Paiva B, Vidriales MB, Cordón L, Cedena MT, Puig N, Martínez-López J, Rosinol L, Gutiérrez NC, Martín-Ramos ML, Oriol A, Teruel AI, Echeveste MA, de Paz R, de Arriba F, Hernández MT, Palomera L, Martínez R, Martín A, Alegre A, de la Rubia J, Orfao A, Mateos MV, Blade J, San-Miguel JF. Depth of response in multiple myeloma: A pooled analysis of three PETHEMA/GEM clinical trials. *J Clin Oncol*. 2017; 35(25): 2900-10. Article. IF: 26.303; D1
- Morado M, Freire Sandes A, Colado E, Subira D, Isusi P, Noya MS, Vidriales MB, Sempere A, Díaz JA, Minguela A, Álvarez B, Serrano C, Caballero T, Rey M, Corral AP, Jiménez MCF, Magro E, Lemes A, Benavente C, Banas H, Merino J, Castejón C, Gutiérrez O, Rabasa P, Goncalves MV, Pérez-Andrés M, Orfao A. Diagnostic screening of paroxysmal nocturnal hemoglobinuria: Prospective multicentric evaluation of the current medical indications. *Cytom Part B-Clin Cy*. 2017; 92(5): 361-70. Article. IF: 2.757; Q2
- Nomdedeu M, Pereira A, Ramos F, Valcarcel D, Costa D, Arnan M, Calvo X, Pomares H, Luno E, Díaz-Campelo M, Collado R, de Paz R, Falantes JF, Pedro C, Marco J, Oirtzabal I, Sánchez-García J, Tormo M, Cedena MT, Nomdedeu B, Sanz G. Excess mortality in the myelodysplastic syndromes. *Am J Hematol*. 2017; 92(2): 149-54. Article. IF: 5.303; Q1
- Oller J, Méndez-Barbero N, Ruiz EJ, Villahoz S, Renard M, Canellas LI, Briones AM, Alberca R, Lozano-Vidal N, Hurle MA, Millewicz D, Evangelista A, Salaices M, Nistal JF, Jiménez-Borreguero LJ, De Backer J, Campanero MR, Redondo JM. Nitric oxide mediates aortic disease in mice deficient in the metalloprotease Adamts1 and in a mouse model of Marfan syndrome. *Nat Med*. 2017; 23(2):200-12. Article. IF: 32.621; Q1
- Pose-Utrilla J, García-Guerra L, del Puerto A, Martín A, Jurado-Arjona J, de León-Reyes NS, Gamir-Morralla A, Serrano AS,

Cancer and Human Molecular Genetics Area



García-Gallo M, Kremer L, Fielitz J, Ireson C, Pérez-Álvarez MJ, Ferrer I, Hernández F, Ávila J, Lasa M, Campanero MR, Iglesias T. Excitotoxic inactivation of constitutive oxidative stress detoxification pathway in neurons can be rescued by PKD1. *Nat Commun.* 2017; 8: 2275. Article. IF: 12.353; DI

- Ramos F, Pedro C, Tormo M, de Paz R, Font P, Luno E, Caballero M, Solano F, Almagro M, Xicoy B, Jiménez M. Impact of anaemia on health-related quality of life and cardiac remodelling in patients with lower risk myelodysplastic syndromes. Results of GlobQoL study. *Eur J Cancer Care.* 2017; 26(6): e12426. Article. IF: 2.409; DI
- Ramos F, Robledo C, Pereira A, Pedro C, Benito R, de Paz R, del Rey M, Insunza A, Tormo M, Díez-Campelo M, Xicoy B, Salido E, Sánchez-del-Real J, Arenillas L, Florensa L, Luno E, del Canizo C, Sanz GF, Hernández-Rivas JM. Multidimensional assessment of patient condition and mutational analysis in peripheral blood, as tools to improve outcome prediction in myelodysplastic syndromes: A prospective study of the Spanish MDS group. *Am J Hematol.* 2017; 92(9): E534-41. Article. IF: 5.303; Q1
- Salar A, Domingo-Domenech E, Panizo C, Nicolas C, Bargay J, Muntanola A, Canales M, Bello JL, Sancho JM, Tomás JF, Rodríguez MJ, Penalver J, Grande C, Sánchez-Blanco JJ, Palomera L, Arranz R, Conde E, García M, García JF, Caballero D, Montalbán C. Long-term results of a phase 2 study of rituximab and bendamustine for mucosa-associated lymphoid tissue lymphoma. *Blood.* 2017; 130(15): 1772-4. Letter. IF: 15.132; DI

PUBLIC PROJECTS

Canales Albendea MA. Identificación y evaluación de nuevas dianas terapéuticas en cáncer (SAF2013-45258-P). MINECO. 2014-2018.

Management centre: UAM

PRIVATE PROJECTS

Canales Albendea MA. Programa para la investigación en neoplasias linfoides. Acero. 2008-Ongoing.

Management centre: FIBHULP

Canales Albendea MA. Bolsa enfermería. Dr. Canales Bolsa Enfermería. 2007-Ongoing.

Management centre: FIBHULP

CLINICAL TRIALS

Canales Albendea MA. Estudio fase II de seguridad y eficacia de atezolizumab administrado en combinación con terapia anti-CD20 obinutuzumab o rituximab en pacientes con linfoma de células del manto o de la zona marginal y macroglobulinemia de Waldenström refractarios o en recaída. Type: Clinical Trial, phase II.

HULP code: 4860. Sponsored's protocol code: MO39107.

Sponsored by: F.Hoffmann-La Roche Ltd.

Signed date: 29/06/2017

Canales Albendea MA. Estudio de fase III randomizado, doble ciego y controlado con placebo, de itacitinib o placebo en combinación con corticosteroides para el tratamiento de primera línea de la enfermedad de injerto contra huésped en fase aguda. Type: Clinical Trial, phase III.

HULP code: 4872. Sponsored's protocol code: INCB 39110-301.

Sponsored by: Incyte Corporation.

Signed date: 13/06/2017

Canales Albendea MA. Estudio de fase 3, aleatorizado, doble

ciego, controlado con placebo y multicéntrico entre bendamustina con rituximab (BR) en monoterapia y en combinación con acalabrutinib (ACP-196) en pacientes con linfoma de células del manto no tratado previamente. Type: Clinical Trial, phase III.

HULP code: 4824. Sponsored's protocol code: ACE-LY-308.

Sponsored by: Acerta Pharma B.V.

Signed date: 31/07/2017

Canales Albendea MA. Estudio en fase II de TAK-659 en pacientes con linfoma difuso de células B grandes recidivante o resistente después de dos o más líneas previas de quimioterapia. Type: Clinical Trial, phase II.

HULP code: 4928. Sponsored's protocol code: C34004.

Sponsored by: Millennium Pharmaceuticals Inc.

Signed date: 22/09/2017

Canales Albendea MA. Un estudio multicéntrico, aleatorizado, doble ciego y controlado con placebo de fase III del inhibidor de tirosina kinasa de bruton (BTK) ibrutinib, en combinación con rituximab en comparación con placebo en combinación con rituximab en sujetos sin tratamiento previo con linfoma folicular. Type: Clinical Trial, phase III.

HULP code: 4909. Sponsored's protocol code: PCYC-1141-CA.

Sponsored by: Pharmacyclics Llc.

Signed date: 09/10/2017

Canales Albendea MA. Estudio de fase I, abierto, de determinación de dosis y ampliación de cohortes, para evaluar la seguridad y la eficacia del tratamiento combinado de INC050465 con bendamustina y obinutuzumab en sujetos con linfoma folicular recidivante o resistente al tratamiento (Citadel 102). Type: Clinical Trial, phase I.

HULP code: 4881. Sponsored's protocol code: INCB 50465-102.

Sponsored by: Incyte Corporation.

Signed date: 28/06/2017

Morado Arias M. Subregistro prospectivo, multicéntrico y observacional de seguridad postautorización para caracterizar el perfil de seguridad a largo plazo del uso comercial de eliglustat. Type: EPA-LA.

HULP code: PI-3019. Sponsored's protocol code: PI-3019 OBS14099.

Sponsored by: Sanofi Aventis S.A.

Signed date: 18/12/2017

Canales Albendea MA. Estudio fase III, abierto, de ofatumumab añadido a fludarabina-ciclofosfamida frente a la combinación fludarabina-ciclofosfamida en sujetos con leucemia linfocítica crónica en recaída. Type: Clinical Trial, phase III.

HULP code: ANEXO-I 2824.

Sponsored's protocol code: OMB110913.

Sponsored by: Glaxosmithkline S.A.

Signed date: 24/04/2017

Canales Albendea MA. Estudio de fase IB/II, abierto para evaluar la seguridad y la farmacocinética de GDC-0199 (ABT-199) en combinación con rituximab (R) o obinutuzumab (G) más ciclofosfamida, doxorrubicina, vincristina y prednisona (CHOP) en pacientes con linfoma no Hodgkin (LNH) de células B y LDGGB (linfoma difuso de células grandes B). Type: Clinical Trial, phase Ib.

HULP code: ANEXO-I 4354. Sponsored's protocol code: GO27878.

Sponsored by: F.Hoffmann-La Roche Ltd.

Signed date: 06/11/2017

de Paz Arias R. Estudio fase III, multicéntrico, abierto, aleatorizado de imatinib frente a nilotinib, en pacientes adultos con leucemia mieloide crónica cromosoma filadelfia positivo (Ph+) en fase crónica (LMC-FC) de nuevo diagnóstico. Type: Clinical Trial, phase III.

HULP code: ANEXO-II 2412. Sponsored's protocol code: CAM-NI07A2303.

Sponsored by: Novartis Farmaceutica S.A.

Signed date: 30/05/2017

Canales Albendea MA. Estudio de fase II de brazo único, abierto, de nivolumab (BMS-936558) en sujetos con linfoma folicular (LF) recidivante o refractario. Type: Clinical Trial, phase II.

HULP code: ANEXO-II 4085.

Sponsored's protocol code: CA209-140.

Sponsored by: Bristol Myers Squibb International Corporation.

Signed date: 03/05/2017

Gómez Prieto P. Ensayo aleatorizado y doble ciego para evaluar la eficacia, la seguridad y la inmunogenicidad de ABP 798 en comparación con rituximab en sujetos con linfoma no Hodgkin (LNH) de células B CD20+. Type: Clinical Trial, phase III.

HULP code: ANEXO-II 4216. Sponsored's protocol code: 20130109.

Sponsored by: Amgen S.A.

Signed date: 31/10/2017

PATENTS AND TRADEMARKS

Campanero García MR, Molina Privado I, inventors; CSIC, UAM, assignees. Method for identifying patients with sporadic Burkitt's lymphoma, identification method and use of compounds for the treatment of sporadic Burkitt's lymphoma. P200702595, PCT/ES2008/070182; 2007 October 03.

Molina Privado I, Campanero García MR, Rodríguez Martínez M, inventors; CSIC, UAM, assignees. Method for the differential diagnosis between Burkitt lymphoma and diffuse large B-cell lymphoma. P200900651; 2009 March 09.

Zapata Hernández JM, Pérez Chacón G, inventors; CSIC, UAM, assignees. Use of an indolic compound with nucleophilic substituents at C3 and the dimeric variants thereof in the production of a pharmaceutical composition that can be used in the treatment of B-lymphoid neoplasms. P201331397, PCT/ES2014/070726; 2013 September 25.